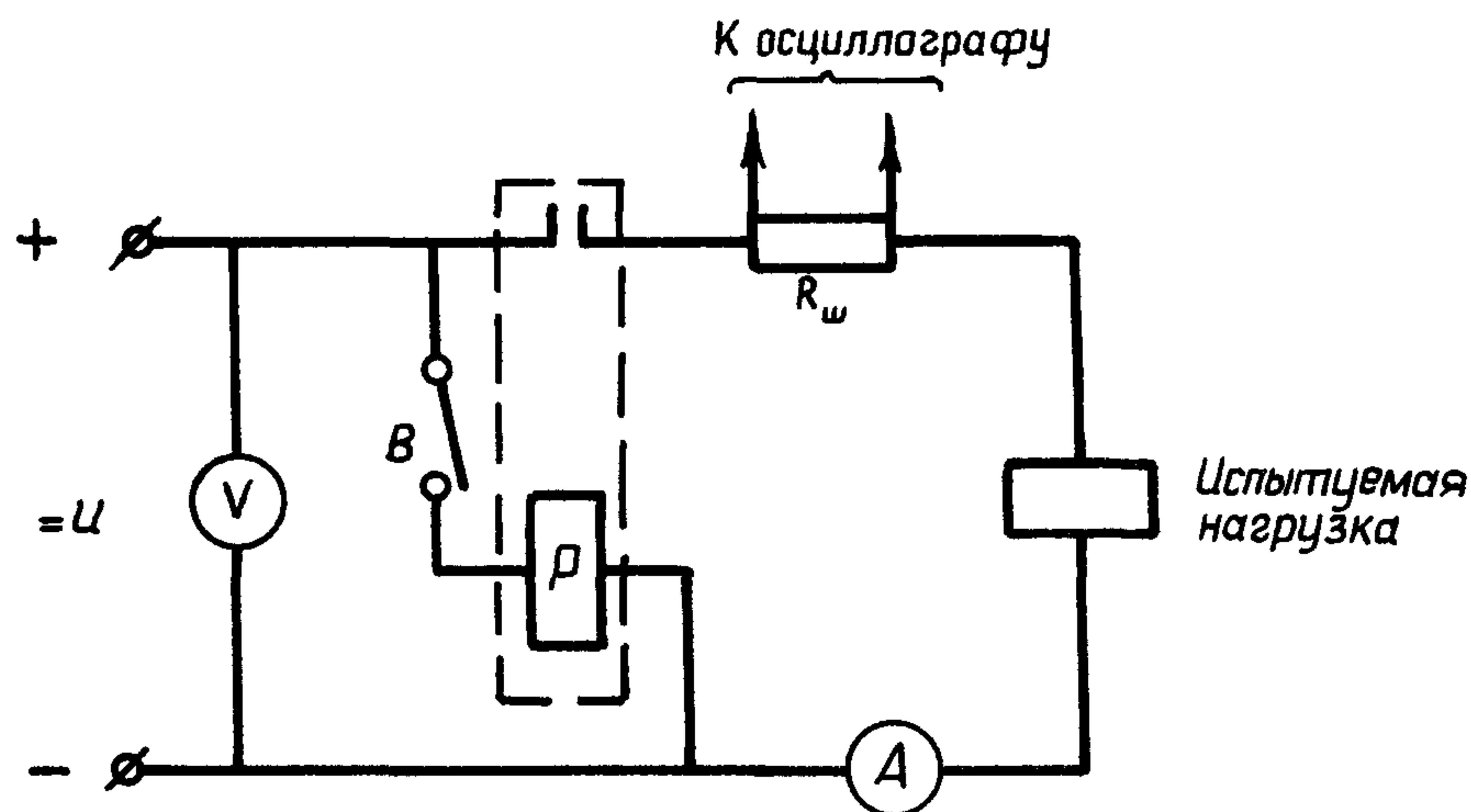


2.2.2. В зависимости от силы тока ($I_{уст}$)_ρ по таблице выбирается тип реле, используемый при определении количества электричества $Q_ρ$. При отсутствии указанных в таблице реле следует использовать любое негерметичное реле типа ТКЕ, ТКД с соответствующей номинальной силой тока цепи контактов $I_{нк}$ и с тем же количеством контактных пар.

Сила тока нагрузки, А	Тип реле	Сила тока нагрузки, А	Тип реле
$0,5 \leq I_{уст} \leq 1,0$	ТКЕ12ПД1У	$5,0 \leq I_{уст} \leq 10,0$	ТКД12ПД1
$1,0 \leq I_{уст} \leq 2,0$	ТКЕ22ПДТ	$10,0 \leq I_{уст} \leq 25,0$	ТКД201Д1
$2,0 \leq I_{уст} \leq 5,0$	ТКЕ52ПД1		

2.2.3. Для определения $Q_ρ$ используется электрическая схема, приведенная на черт. 1.



ρ – реле, выбираемое по п. 2.2.2;

R_H – активное сопротивление нагрузки;

R_w – сопротивление измерительного шунта ($R_w \leq 0,01 R_H$)

Черт. 1

2.2.4. С помощью осциллографа снимаются осциллограммы зависимости мгновенного значения силы тока i от времени t при пяти или более ($K \geq 5$) повторных отключениях нагрузки. Перед каждым отключением в цепи должен протекать ток с установившейся силой тока $I_{уст}$, равной силе тока, определенной по п. 2.2.1.

2.2.5. На каждой из полученных осциллограмм зависимости $i(t)$ промежутков времени от t_0 до t_n делится на n равных частей ($n \geq 4$) с интервалом времени Δt .

2.2.6. Для границ интервалов, соответствующих моментам времени $t_0, t_1, t_2, \dots, t_n$, определяются значения силы тока $I_0, I_1, I_2, \dots, I_n$.

3

№ изм.

11005

№ изв.

4408

Ив. № дубликата

Ив. № подлинника

2.2.7. Количество электричества вычисляется по формуле

$$Q_p = \frac{\Delta t}{2} (I_0 + 2I_1 + 2I_2 + 2I_3 + \dots + 2I_{n-1} + I_n). \quad (1)$$

Примечание. Для определения Q_p может быть использован планиметр. В этом случае значение Q_p определяется путем измерения площади S_{it} , ограниченной зависимостью $i(t)$ и прямыми линиями $i = 0$, $t = t_0$, с последующим расчетом по формуле

$$Q_p = S_{it} m_i m_t, \quad (2)$$

где m_i - масштаб силы тока на осциллограмме зависимости $i(t)$, А/см;

m_t - масштаб времени на осциллограмме зависимости $i(t)$, с/см.

2.2.8. По результатам обработки осциллограмм зависимости $i(t)$ вычисляется среднее арифметическое значение \bar{Q}_p :

$$\bar{Q}_p = \frac{\sum_{m=1}^K (Q_p)_m}{K}, \quad (3)$$

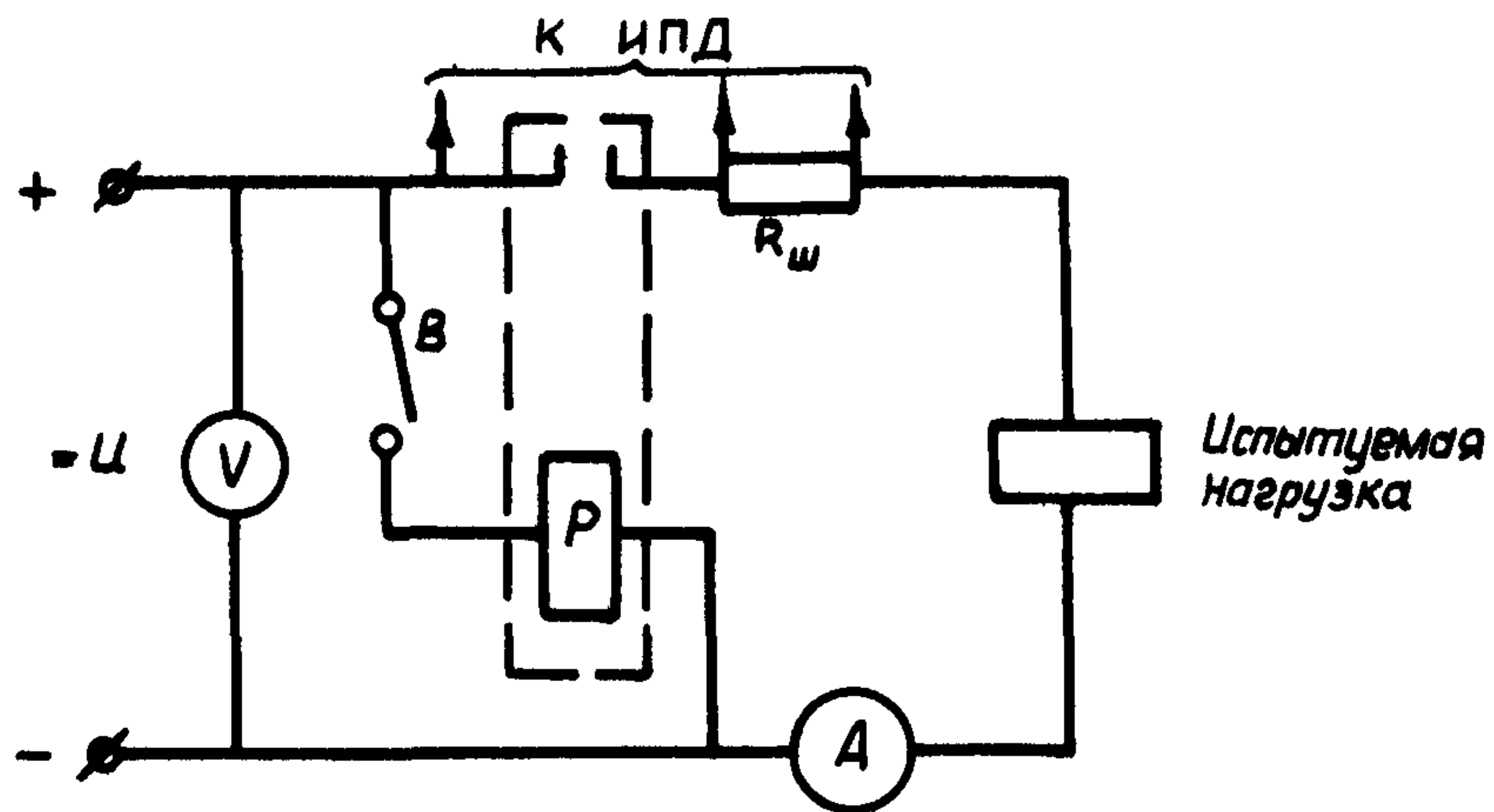
где $(Q_p)_m$ - результат m -го измерения Q_p ;
 K - число измерений Q_p .

2.3. Метод непосредственного измерения Q_p

2.3.1. Измерения проводятся специальным измерителем параметров дуги (ИПД). Метрологическая аттестация и поверка ИПД осуществляются в соответствии с ГОСТ 8.328-78.

2.3.2. Выполняются операции по пп. 2.2.1 и 2.2.2.

2.3.3. Для определения Q_p собирается электрическая схема, приведенная на черт. 2.



Черт. 2

2.3.4. С помощью ИПД измеряется значение Q_p не менее чем при пяти отключениях ($K \geq 5$) нагрузки. Перед каждым отключением в цепи должен протекать ток с установившейся силой тока, равной силе тока, определенной по п. 2.2.1.

№ 130.

№ 131.

4408

№ № дубликата

№ № подлинника

2.4.7. Значения T_1 и T_2 , определенные по п. 2.4.6, сравниваются. Если

$$\left| \frac{T_1 - T_2}{T_1} \right| \leq 0,1, \quad (6)$$

то электромагнитная постоянная времени линейной нагрузки

$$\tau = \frac{T_1 + T_2}{2} \quad (7)$$

принимается за значение эквивалентной электромагнитной постоянной времени реальной нагрузки T_3 . Если условие (6) не выполняется, то магнитопровод дросселя насыщен, что недопустимо. В этом случае необходимо операции по пп. 2.4.2 - 2.4.6 повторить при меньшем числе витков обмотки дросселя, включенных в цепь, или (и) при большем воздушном зазоре в магнитопроводе. Если и в этом случае неравенство (6) не выполняется, то необходимо использовать два последовательно включенных дросселя.

2.5. Графический метод определения T_3

2.5.1. T_3 реальной индуктивной нагрузки может быть определена с несколько большей погрешностью без настройки эквивалентной линейной нагрузки с использованием зависимостей $\tau = f(\bar{Q})$, приведенных в рекомендуемом приложении 2. Для этого используются значения $(I_{уст})_p$ и \bar{Q}_p , определенные в соответствии с пп. 2.2.1 и 2.2.8 (или п. 2.3.5).

2.5.2. Если сила тока реальной нагрузки $(I_{уст})_p$ не совпадает с силой тока, для которой построены зависимости $\tau = f(\bar{Q})$, то T_3 определяется из пропорции

$$\frac{I_2 - I_1}{(I_{уст})_p - I_1} = \frac{\tau'_2 - \tau'_1}{T_3 - \tau'_1}, \quad (8)$$

где I_1, I_2 - силы тока, ближайšie по значению к силе тока $(I_{уст})_p$, для которых приведены зависимости $\tau = f(\bar{Q})$, при этом $I_2 > (I_{уст})_p > I_1$;

τ'_1, τ'_2 - значения τ , определенные по зависимостям $\tau = f(\bar{Q})$, соответственно для токов I_1 и I_2 при значении $\bar{Q} = \bar{Q}_p$.

2.6. Для индуктивных нагрузок с потребляемой установившейся силой тока $(I_{уст})_{макс} \leq 0,5$ А значение T_3 определяется по пп. 2.2-2.5 при параллельном соединении нескольких нагрузок данного типа. Число параллельно включаемых нагрузок (n) определяется из условия $0,5 \text{ А} < I_{уст} \leq 1,0 \text{ А}$, при этом число нагрузок должно быть максимально возможным. Определенное для группы параллельно включенных нагрузок значение T_3 принимается в качестве T_3 отдельной нагрузки.

2.7. Пример определения эквивалентной электромагнитной постоянной времени T_3 электромагнитов ЭМТ-243 приведен в приложении 3.

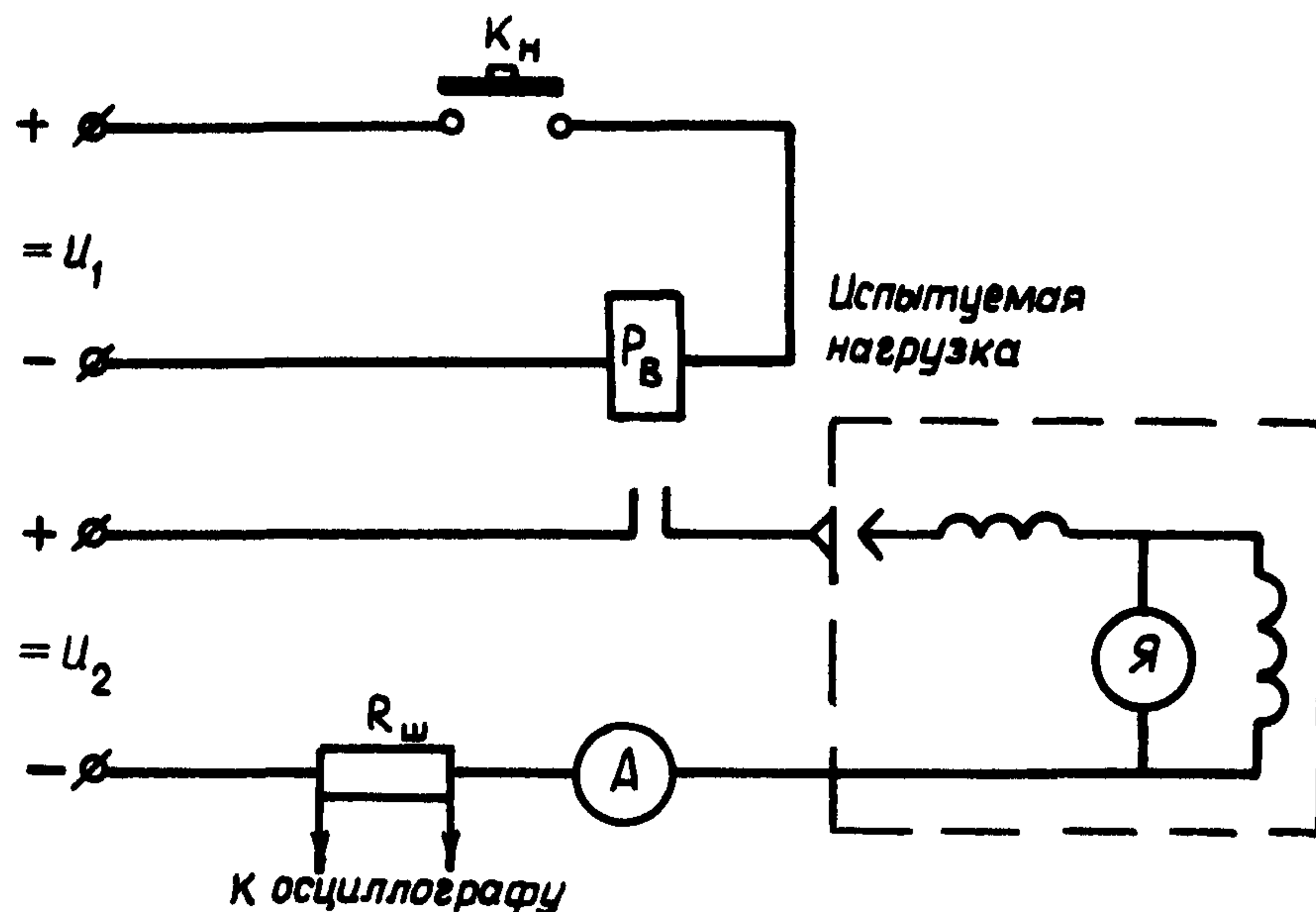
3. МЕТОДИКА ОПРЕДЕЛЕНИЯ ПАРАМЕТРОВ ДВИГАТЕЛЬНОЙ НАГРУЗКИ

3.1. Определение электрических параметров переходного процесса в режиме включения

№ изм.	3
№ изв.	11005

Изм. № дубликата	4408
Изм. № подлинника	

3.1.1. Для определения параметров переходного процесса в режиме включения используется электрическая схема, приведенная на черт. 3.



P_B - реле включения;

R_H - сопротивление нагрузки при установившейся силе тока, соответствующей номинальному режиму работы двигателя ;

$R_{ш}$ - сопротивление измерительного шунта ($R_{ш} \leq 0,01 R_H$).

Черт. 3

3.1.2. С помощью осциллографа снимается осциллограмма зависимости силы тока от времени $i(t)$ при включении двигателя из состояния покоя в режиме холостого хода при нормальных климатических условиях.

3.1.3. По полученной осциллограмме зависимости $i(t)$ определяется амплитуда пусковой силы тока I_M , длительность фронта импульса пусковой силы тока Δt_{ϕ} , длительность импульса пусковой силы тока Δt_u . Значение Δt_u определяется как время, в течение которого сила тока в цепи превышает значение $(I_M + I_{уст}) 0,5$. Значение Δt_{ϕ} определяется как время нарастания силы тока от $i = 0,05 I_M$ до $i = 0,95 I_M$.

3.2. Определение электрических параметров переходного процесса в режиме реверса электродвигателя с противовключением

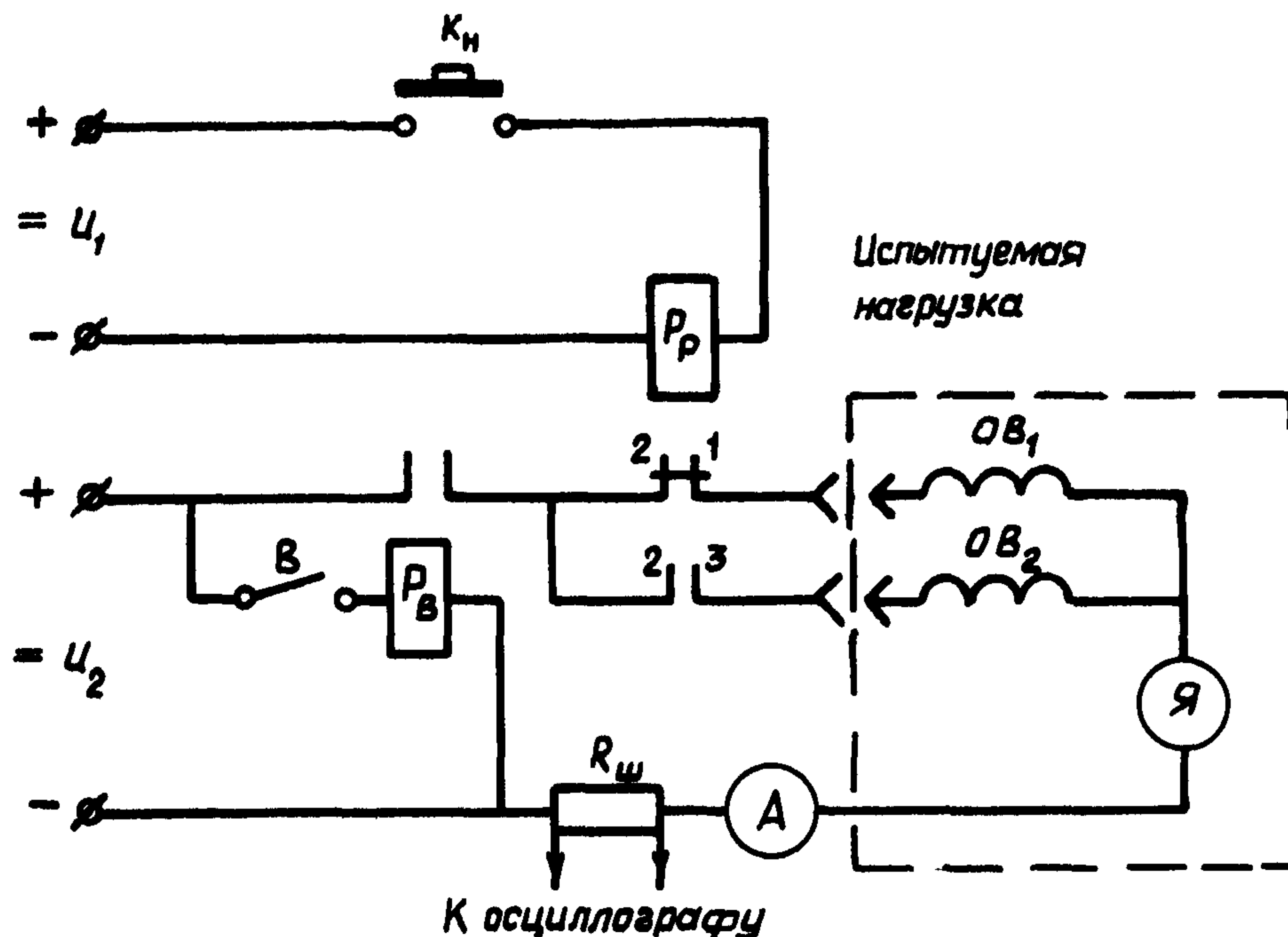
3.2.1. Параметры переходного процесса в режиме реверса с противовключением определяются только в том случае, если этот режим обеспечивается конструктивным исполнением испытываемой нагрузки и может иметь место в эксплуатации.

№ изм.
№ изв.

4408

Изм. № дубликата
Изм. № подлинника

3.2.2. Для определения параметров переходного процесса в режиме реверса с противовключением используется, например, электрическая схема, приведенная на черт. 4.



- R_P - реле реверсирования нагрузки;
- R_B - реле включения;
- R_H - сопротивление нагрузки при установившейся силе тока, соответствующей номинальному режиму работы двигателя;
- $R_{ш}$ - сопротивление измерительного шунта ($R_{ш} \leq 0,01 R_H$).

Черт. 4

3.2.3. С помощью осциллографа снимаются две осциллограммы зависимости силы тока от времени $i(t)$ при реверсе двигателя из установившегося режима холостого хода при нормальных климатических условиях:

- одна при реверсе в одну сторону (при нажатии кнопки);
- другая при реверсе в другую сторону (при отпускании кнопки).

3.2.4. На каждой из полученных осциллограмм зависимости $i(t)$ определяются амплитуда импульса силы тока I_M , длительность фронта импульса силы тока Δt_{ϕ} и длительность импульса силы тока Δt_u . Значение Δt_u определяется как время, в течение которого сила тока в цепи превышает значение $(I_M + I_{уст})0,5$. Значение Δt_{ϕ} определяется как время нарастания силы тока от $i = 0,05 I_M$ до $i = 0,95 I_M$.

3.2.5. По результатам обработки двух осциллограмм зависимости $i(t)$ выбираются большие значения I_M , Δt_u и меньшее значение Δt_{ϕ} .

№ изм.
№ изв.

4408

Изм. № дубликата
Изм. № подлинника

4. МЕТОДИКА ОПРЕДЕЛЕНИЯ ПАРАМЕТРОВ ЛАМПОВОЙ И ЕМКОСТНОЙ НАГРУЗОК

4.1. Для определения параметров переходного процесса при включении ламповой или емкостной нагрузки последовательно с ней устанавливается измерительный шунт с сопротивлением $R_{ш}$, составляющим не более 1 % от сопротивления нагрузки R_H .

4.2. С помощью осциллографа определяется зависимость силы тока в цепи от времени $i(t)$ при пяти повторных включениях нагрузки на номинальное напряжение. Время включенного состояния цепи в каждом случае должно быть не более, чем 0,5 с с перерывом между включениями не менее 10 с.

4.3. На каждой из полученных осциллограмм зависимости $i(t)$ определяются амплитуда импульса силы тока I_M , длительность фронта импульса силы тока Δt_{ϕ} , длительность импульса силы тока Δt_{μ} . Значение Δt_{μ} определяется как время, в течение которого сила тока в цепи превышает значение $(I_M + I_{уст}) 0,5$. Значение Δt_{ϕ} определяется как время нарастания силы тока от $i = 0,05 I_M$ до $i = 0,95 I_M$.

4.4. По результатам обработки пяти осциллограмм зависимости $i(t)$ выбираются наибольшие значения I_M и Δt_{μ} и наименьшее значение Δt_{ϕ} .

5. МЕТОДИКА ВЫБОРА КОММУТАЦИОННОГО АППАРАТА ПО ПАРАМЕТРАМ КОММУТИРУЕМОЙ НАГРУЗКИ

5.1. Выбор коммутационного аппарата должен производиться по следующим параметрам коммутируемой нагрузки:

- номинальному напряжению U_H ;
- максимально возможной потребляемой силе тока $(I_{уст})_{max}$;
- эквивалентной электромагнитной постоянной времени T_{Σ} (или величине количества электричества \bar{Q}_p , определенного в соответствии с п. 2.2. или 2.3.);
- амплитуде импульса силы тока I_M , длительности импульса силы тока Δt_{μ} и длительности фронта импульса силы тока Δt_{ϕ} , возникающей в переходном режиме коммутации.

Предельные значения указанных параметров для коммутационного аппарата должны определяться в соответствии с параметрами испытательных нагрузок и приводиться в технических условиях на коммутационный аппарат.

5.2. При определении срока службы коммутационных аппаратов рекомендуется использовать испытательные нагрузки с параметрами, приведенными в рекомендуемом приложении 4.

5.3. Выбор коммутационного аппарата для цепей с резистивной нагрузкой

5.3.1. Из технических условий на нагрузку определяется номинальное напряжение U_H и максимально возможная в условиях эксплуатации установившаяся сила тока $(I_{уст})_{max}$ при напряжении, равном U_H .

5.3.2. Из технических условий на коммутационный аппарат определяется номинальное напряжение $U_{нк}$ и допустимая установившаяся сила тока цепи контактов для резистивной нагрузки $I_{кр}$.

№ изм.	2	3
№ изв.	9065	11005

Инв. № дубликата	4408
Инв. № подлинника	

$\Delta t_{икл}$ и длительность фронта импульса силы тока $\Delta t_{фкл}$ цепи контактов для ламповой нагрузки.

5.5.3. Применение коммутационного аппарата допустимо, если выполняются следующие условия:

$$U_{нк} \geq U_n; I_{кл} \geq (I_{уст})_{max}; I_{мкл} \geq I_m;$$

$$I_{мкл} \Delta t_{икл} \geq I_m \Delta t_n; \Delta t_{фкл} \leq \Delta t_{ф}.$$

5.5.4. При выполнении условий п. 5.5.3 обеспечивается срок службы коммутационного аппарата по числу включений, указанный в технических условиях на него для ламповой или емкостной нагрузки.

5.6. Выбор коммутационного аппарата для цепей с двигательной нагрузкой

5.6.1. Из технических условий на нагрузку определяются номинальное напряжение U_n , максимально возможная в условиях эксплуатации потребляемая установившаяся сила тока $(I_{уст})_{max}$ при напряжении, равном U_n , а также параметры I_m , Δt_n , $\Delta t_{ф}$ импульса силы тока, возникающего в режиме включения или реверса. При отсутствии в технических условиях данных о значениях I_m , $\Delta t_{ф}$, Δt_n они определяются в соответствии с разделом 3.

5.6.2. Параметры импульса силы тока в режиме реверса двигательной нагрузки используются при выборе коммутационного аппарата только в том случае, если в эксплуатации имеет место реверс с противовключением.

5.6.3. Из технических условий на коммутационный аппарат определяются номинальное напряжение $U_{нк}$, допустимая установившаяся сила тока $I_{кд}$, допустимая амплитуда импульса силы тока $I_{мкд}$, длительность импульса силы тока $\Delta t_{икд}$ и длительность фронта импульса силы тока $\Delta t_{фкд}$ цепи контактов для двигательной нагрузки.

5.6.4. Применение коммутационного аппарата допустимо, если выполняются следующие условия:

$$U_{нк} \geq U_n; I_{кд} \geq (I_{уст})_{max}; I_{мкд} \geq I_m;$$

$$I_{мкд} \Delta t_{икд} \geq I_m \Delta t_n; \Delta t_{фкд} \leq \Delta t_{ф}.$$

5.6.5. При выполнении условий п. 5.6.4 обеспечивается срок службы коммутационного аппарата по числу включений, указанный в технических условиях на него для двигательной нагрузки.

5.7. В случае невыполнения одного из условий, указанных в пп. 5.3.3, 5.4.4, 5.5.3 или 5.6.4 для данного вида нагрузки, выбирается коммутационный аппарат с большей номинальной силой тока или по согласованию с разработчиком коммутационного аппарата для него назначается меньший срок службы.

5.8. Коммутационные аппараты, используемые в качестве исполнительных элементов системы защиты от повышения напряжения при ненормальных режимах

Ив. № дубликата	Ив. № подлинника	4408	№ изм.	2	3	№ изв.	9065	11005

ОСНОВНЫЕ ПАРАМЕТРЫ РЕГУЛИРУЕМОГО ДРОССЕЛЯ,
РЕКОМЕНДУЕМОГО ДЛЯ ИСПОЛЬЗОВАНИЯ
ПРИ ОПРЕДЕЛЕНИИ T_3 ИНДУКТИВНЫХ НАГРУЗОК

1. МАГНИТОПРОВОД

- 1.1. Материал: сталь 1512 ГОСТ 21427.0-75.
1.2. Исполнение: П-образное.
1.3. Средняя длина магнитной силовой линии ≈ 640 мм.
1.4. Площадь сечения магнитопровода ≈ 30 см².
1.5. Воздушный зазор - регулируемый, диапазон регулирования - 0-15 мм.

2. ОБМОТКА

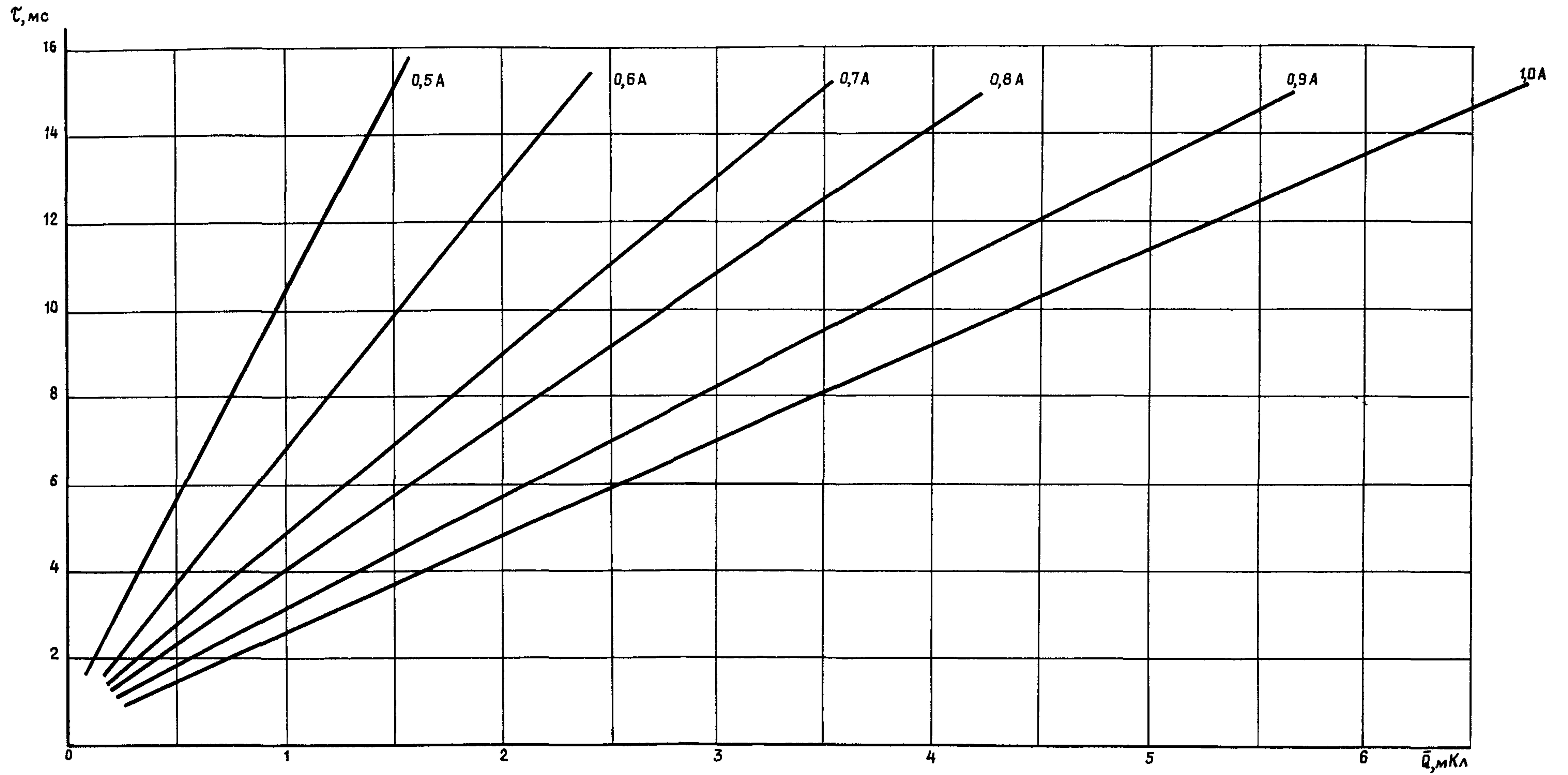
- 2.1. Исполнение: в виде двух катушек, состоящих из отдельных секций с выводами для подключения в схему.
2.2. Число витков в секциях каждой катушки и диаметр обмоточного провода указаны в таблице.

Число витков в секции	Диаметр провода по меди, мм	Количество секций в катушке
25	1,70	4
50	1,18	2
100	0,80	2
200	0,50	1

№ изм.
№ изв.Изм. № дубликата
Изм. № подлинника

4408

Зависимости электромагнитной постоянной времени линейных индуктивных нагрузок постоянного тока от количества электричества, прошедшего по цепи нагрузки при ее отключении контактами реле ТКЕ12ПД1У



Черт. 1

№ 138.
№ 138.

4408

Изм. № дубликата
Изм. № подлинника

Ив. № дубликата

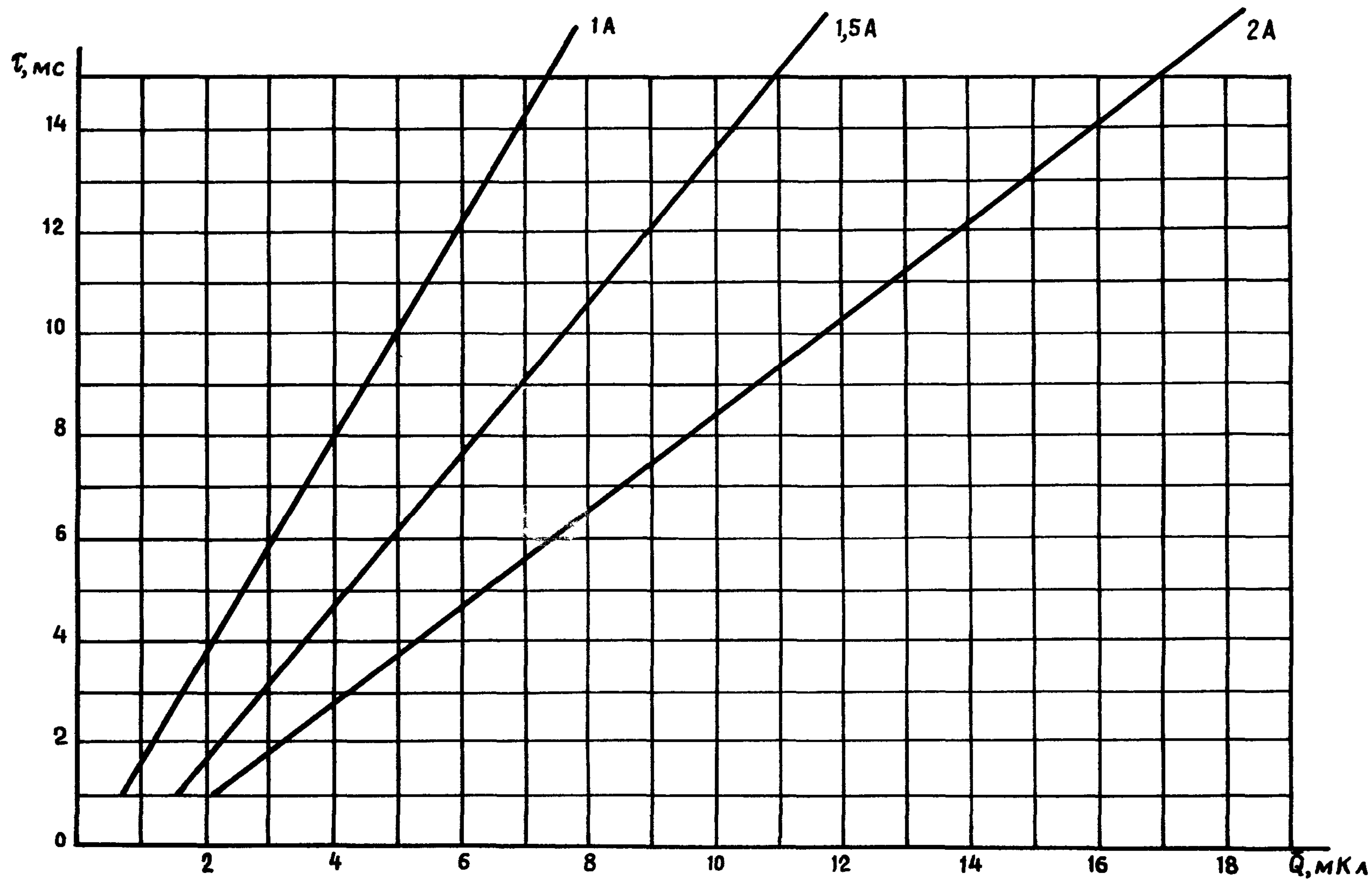
Ив. № подлинника

4408

№ изм.

№ изв.

Зависимости электромагнитной постоянной времени линейных индуктивных нагрузок постоянного тока от количества электричества, прошедшего по цепи нагрузки при отключении контактами реле ТКЕ22ПДТ



Черт. 2

№№ дубликата

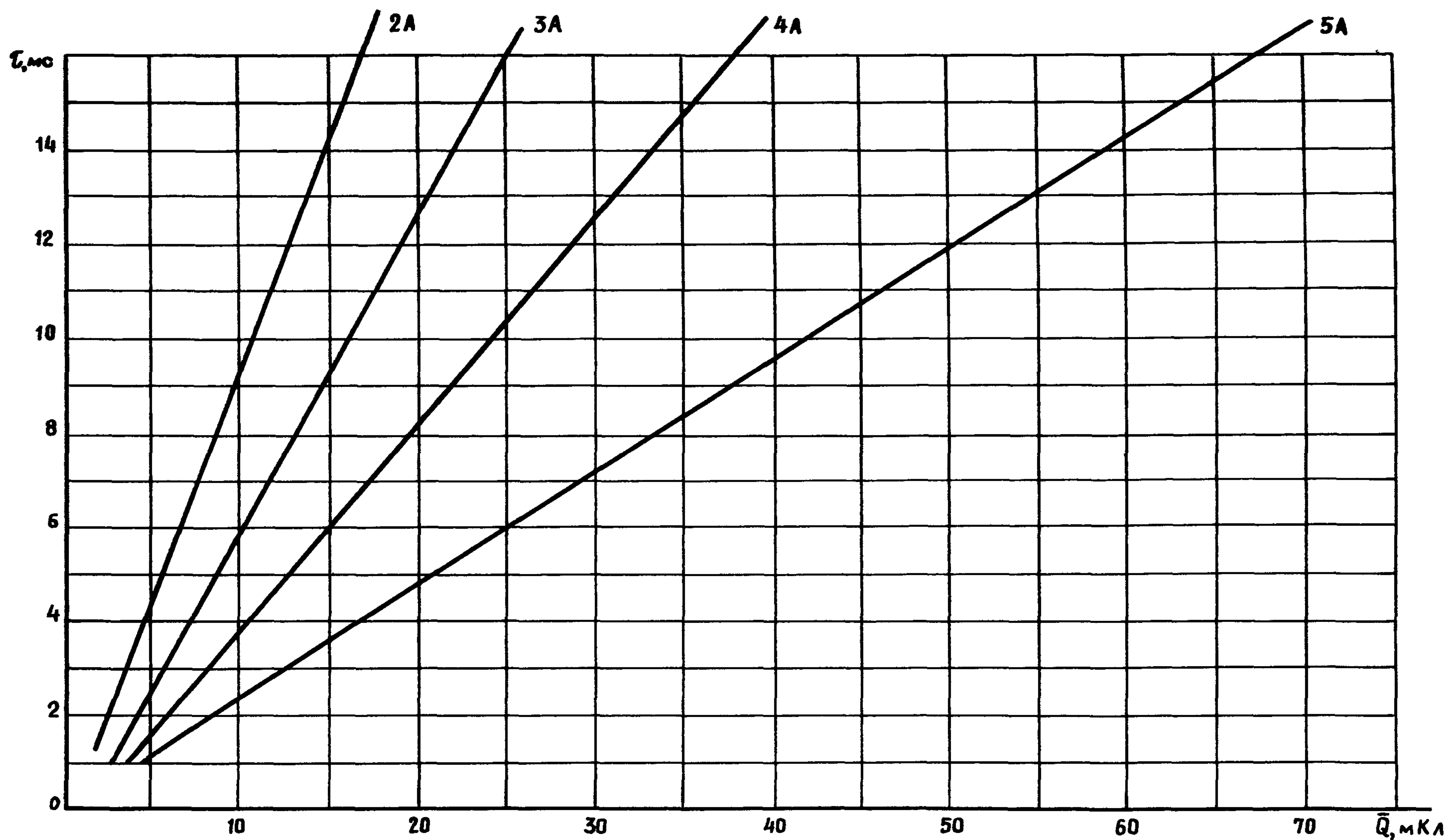
№№ подлинника

4408

№ изм.

№ изв.

Зависимости электромагнитной постоянной времени линейных индуктивных нагрузок постоянного тока от количества электричества, прошедшего по цепи нагрузки при отключении контактами реле ТКЕ52ПД1



Черт. 3

№ дубликата

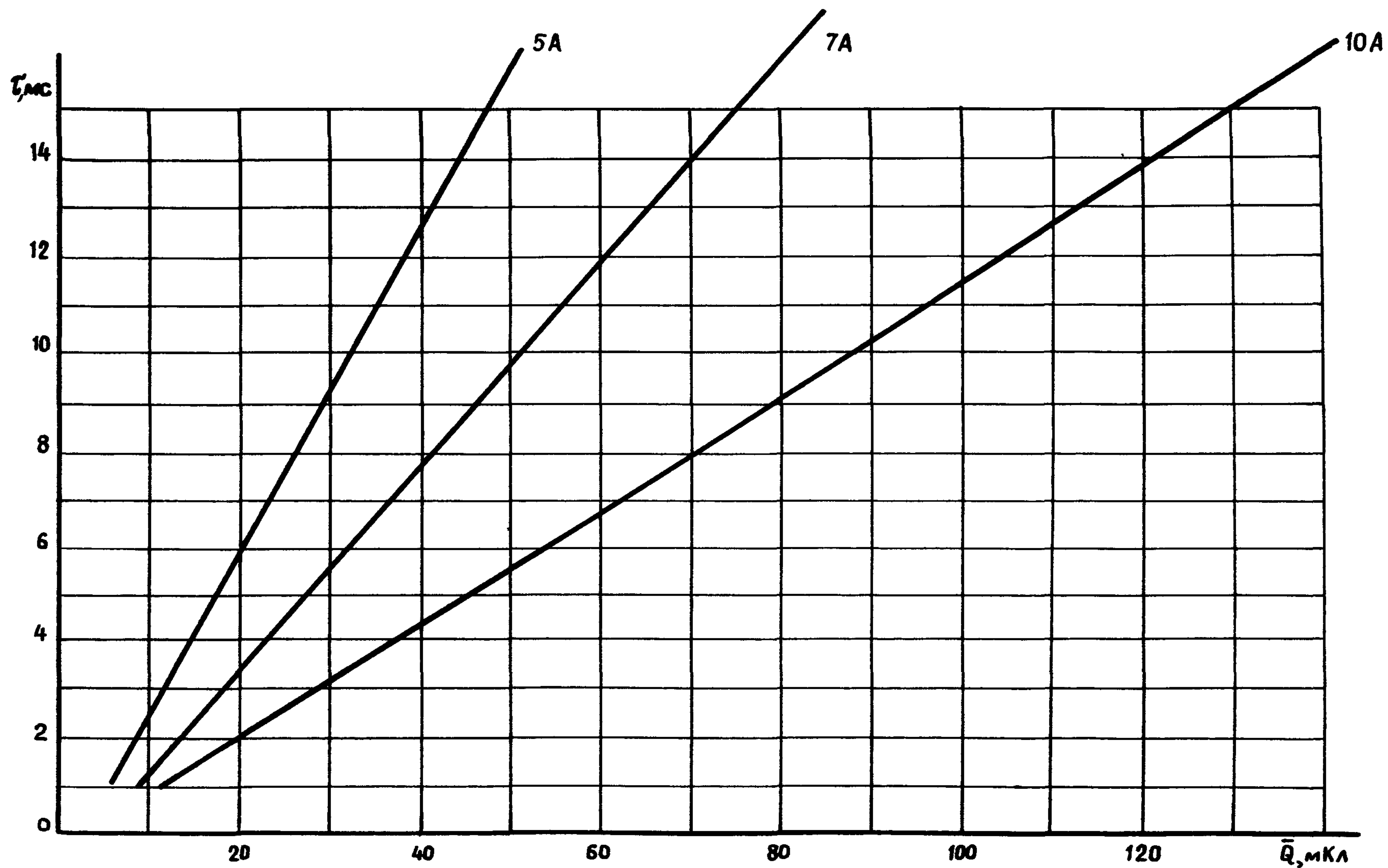
№ подлинника

4408

№ изм.

№ изв.

Зависимости электромагнитной постоянной времени линейных индуктивных нагрузок постоянного тока от количества электричества, прошедшего по цепи нагрузки при отключении контактами реле ТКД12ПД1



Черт. 4

№№ дубликата

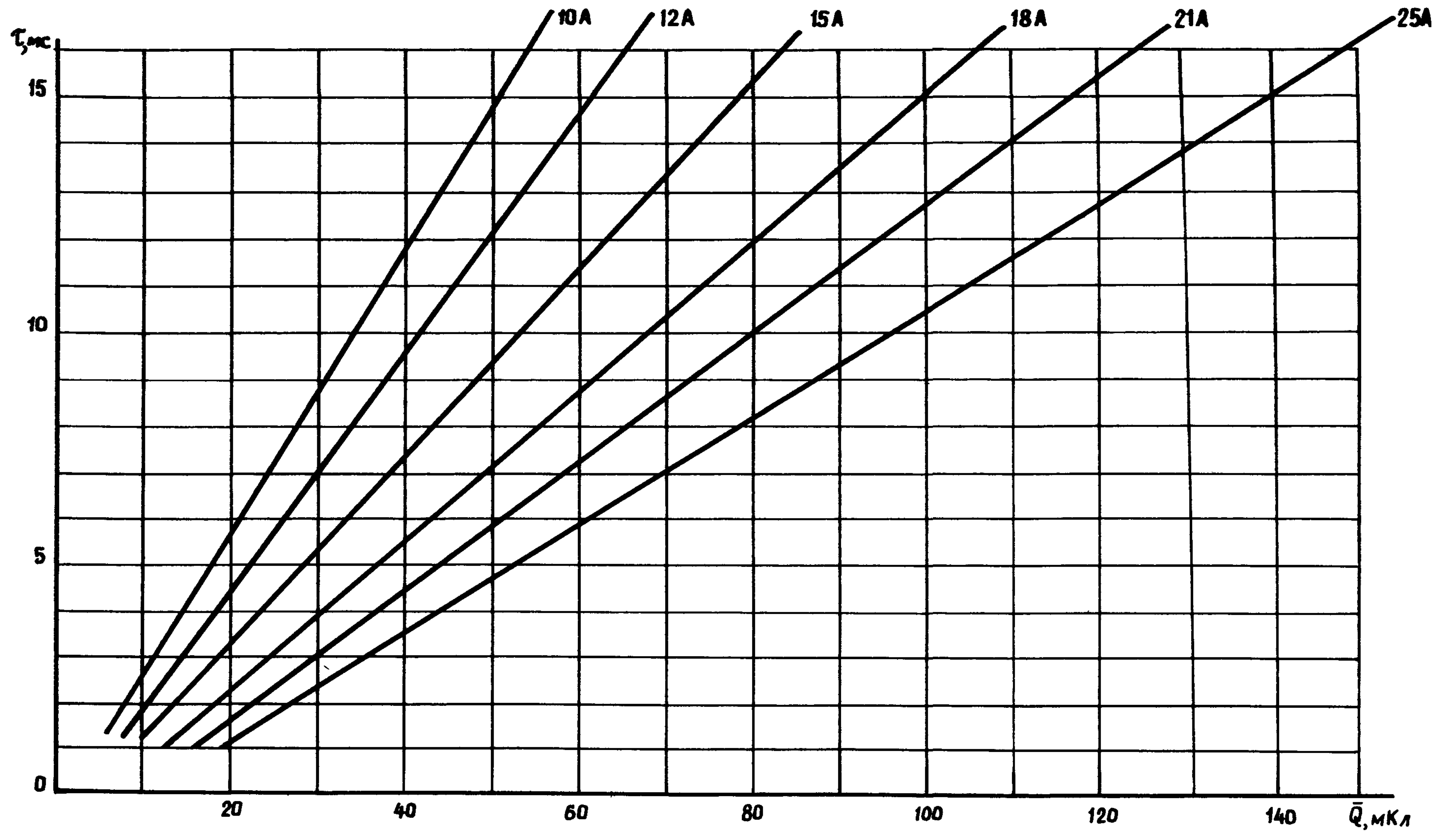
№№ подлинника

4408

№ изм.

№ изв.

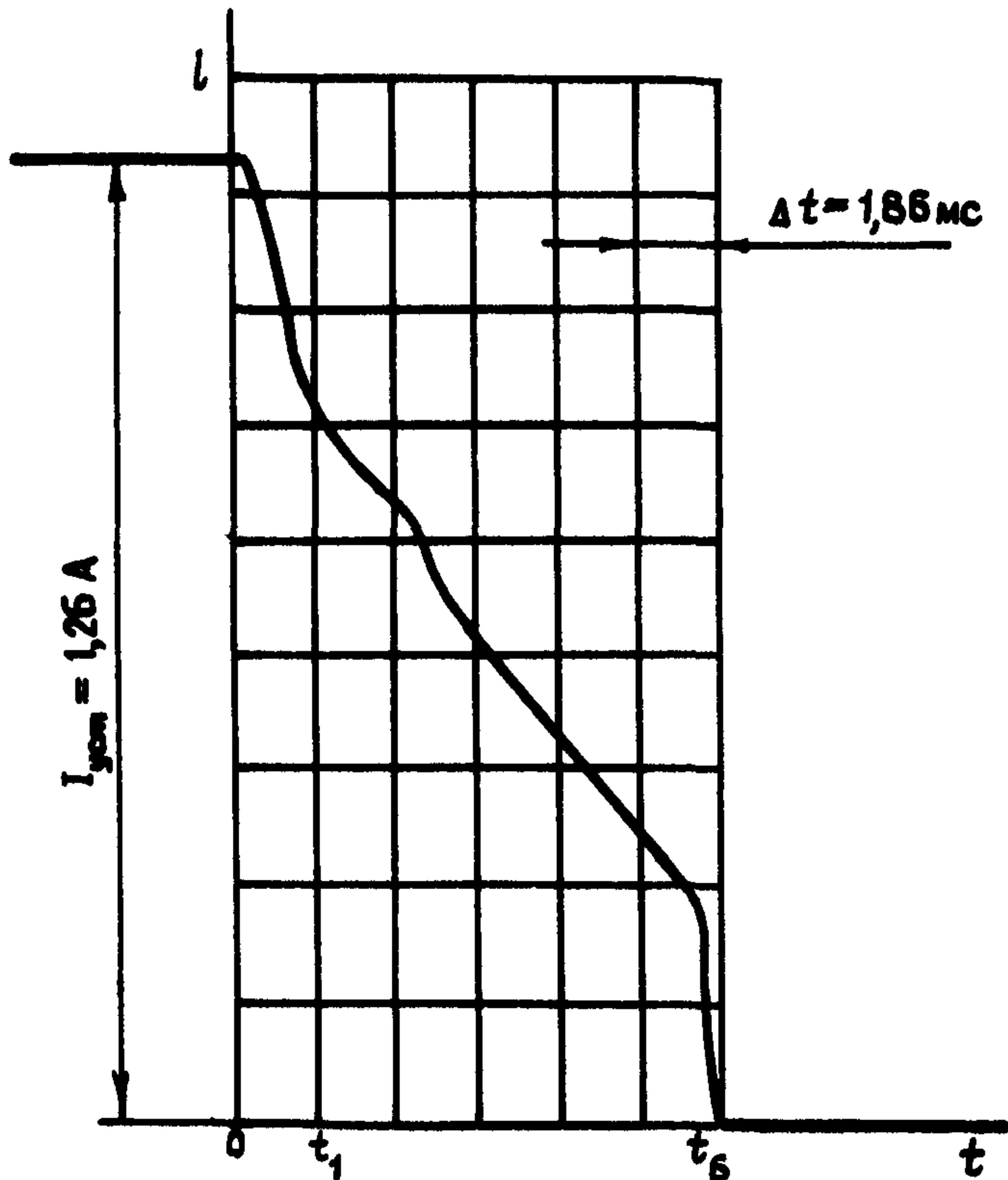
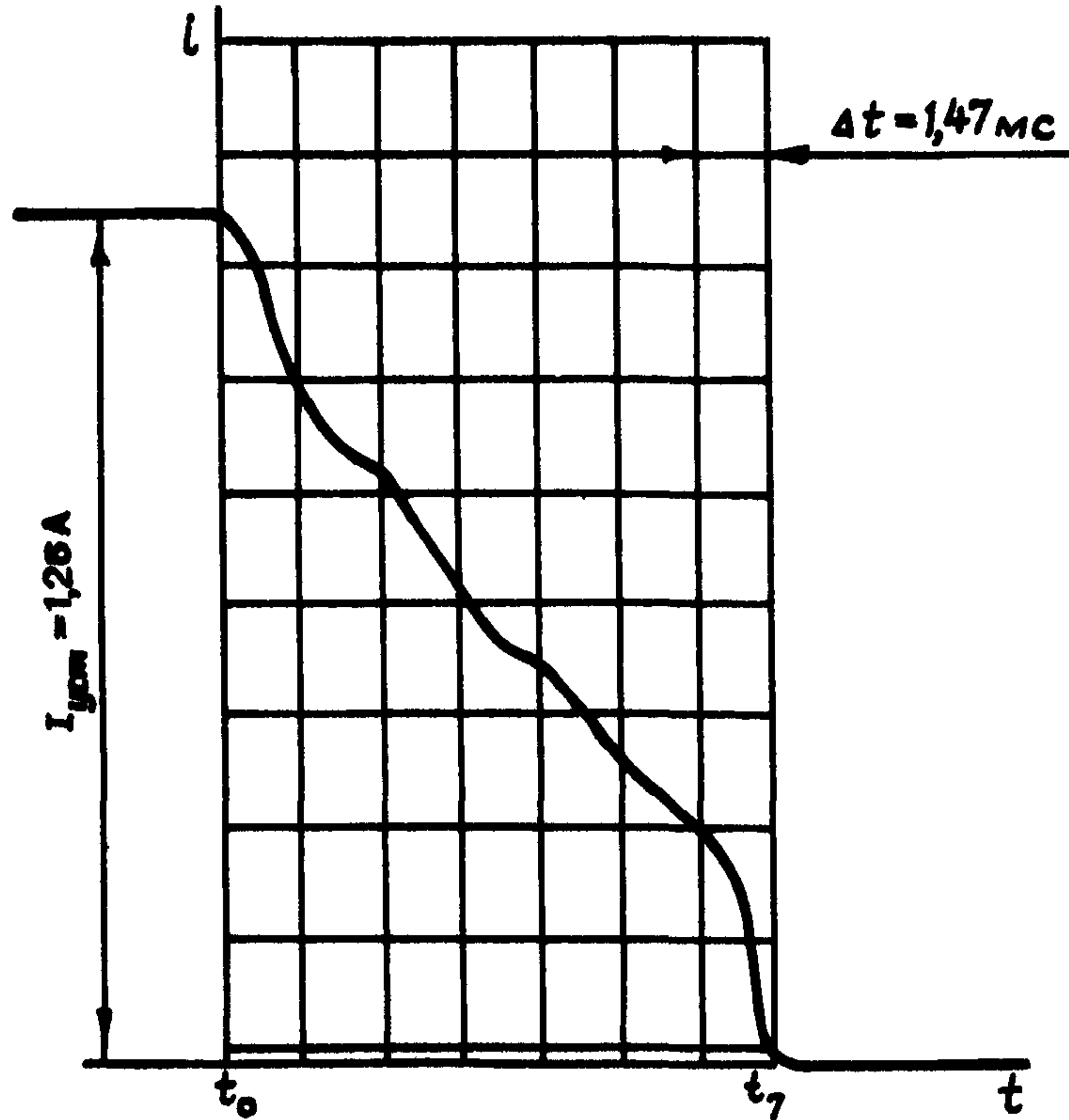
Зависимости электромагнитной постоянной времени линейных индуктивных нагрузок постоянного тока от количества электричества, прошедшего по цепи нагрузки при отключении контактами реле ТКД201Д1



Черт. 5

ОСТ 1 00392-80 Стр. 20

Оциллограммы № 1, 2 зависимости силы тока от времени $i(t)$ при отключении электромагнита контактами реле ТКЕ22ПДТ



Черт. 1

№ 138.
№ 138.

4408

№ № дубляжата
№ № оригинала

1.2. Определение эквивалентной постоянной времени $T_{\text{э}}$ электромагнита

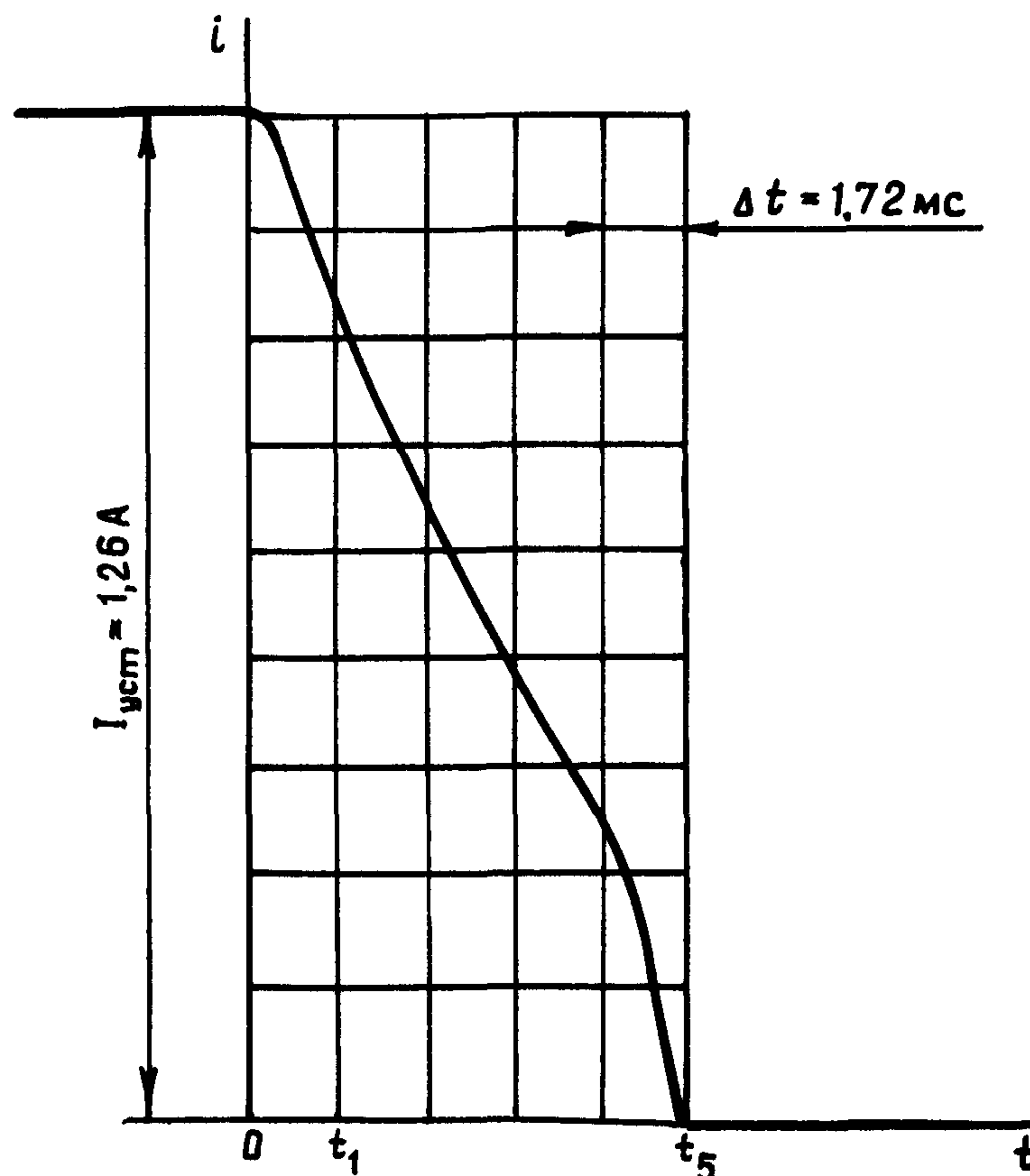
1.2.1. Определяется эквивалентная постоянная времени $T_{\text{э}}$ электромагнита методом подбора эквивалентной нагрузки.

1.2.1.1. Электромагнит в схеме испытаний заменяется линейной нагрузкой в виде последовательно соединенных реостата и дросселя с шихтованным магнитопроводом, имеющим регулируемый воздушный зазор, и многосекционной обмоткой с отпайками для включения различного числа витков. Основные параметры дросселей приведены в рекомендуемом приложении 1.

1.2.1.2. С помощью реостата устанавливается сила тока в цепи $(I_{\text{уст}})_{\text{л}} = 1,26 \text{ А}$ (при $U = 27 \text{ В}$), равная силе тока, потребляемой электромагнитом.

1.2.1.3. Для предварительной оценки эквивалентности линейной нагрузки электромагниту с помощью светолучевого осциллографа на фотоленте регистрируется зависимость силы тока от времени $i_{\text{л}}(t)$ в процессе ее отключения (черт. 4).

Осциллограмма № 6 зависимости $i(t)$ при отключении линейной нагрузки контактами реле ТКЕ22ПДТ



Черт. 4

1.2.1.4. Полученная осциллограмма обрабатывается аналогично п. 1.1.8. В результате обработки получается $Q_{\text{л}} = 5,8 \text{ мКл}$ (табл. 2).

№ изм.
№ изв.

4408

Инв. № дубликата
Инв. № подлинника

Таблица 2

Номер осциллограммы	Δt , мс	Значение силы тока в цепи с линейной нагрузкой в процессе ее отключения, А						Количество электричества Q_A , мКл
		I_0	I_1	I_2	I_3	I_4	I_5	
6	1,72	1,26	1,04	0,78	0,58	0,38	0	5,8

1.2.1.5. Сравнение полученного значения Q_A со средним арифметическим значением $\bar{Q}_p = 6,8$ мКл показывает, что значение

$$\left| \frac{\bar{Q}_p - Q_A}{\bar{Q}_p} \right| = \frac{6,8 - 5,8}{6,8} = 0,15 \text{ превышает допустимое значение (не более 0,1).}$$

1.2.1.6. После уменьшения воздушного зазора магнитопровода дросселя с помощью светолучевого осциллографа Н-115 на фотоленте регистрируется зависимость силы тока от времени $i_A(t)$ при пяти отключениях линейной нагрузки (черт. 5 - 7).

1.2.1.7. Каждая из полученных осциллограмм обрабатывается аналогично п. 1.1.8. Результаты обработки приведены в табл. 3.

Таблица 3

Номер осциллограммы	Δt , мс	Значение силы тока в цепи линейной нагрузки в процессе ее отключения, А							Количество электричества Q_A , мКл
		I_0	I_1	I_2	I_3	I_4	I_5	I_6	
7	1,42	1,26	1,00	0,900	0,74	0,62	0,48	0	6,9
8	1,34	1,26	1,10	0,950	0,80	0,64	0,44	0	6,9
9	1,90	1,26	1,05	0,860	0,65	0,50	0,00	-	7,0
10	1,62	1,26	1,10	0,910	0,74	0,56	0,40	0	7,0
11	1,80	1,26	1,10	0,882	0,68	0,50	0,00	-	6,9
Среднее значение									6,8

1.2.1.8. Вычисляется среднеарифметическое значение

$$\bar{Q}_A = \frac{\sum_{i=1}^k (Q_A)_i}{k} = \frac{6,9 + 6,9 + 6,9 + 7}{5} = 6,8 \text{ мКл.}$$

1.2.1.9. Сравнение полученных значений $\bar{Q}_p = 6,8$ мКл и $\bar{Q}_A = 6,8$ мКл показывает, что $\left| \frac{\bar{Q}_A - \bar{Q}_p}{\bar{Q}_p} \right| = 0$. Следовательно, данная линейная нагрузка эквивалентна электромагниту.

1.2.1.10. С помощью осциллографа Н-115 на фотоленте регистрируется зависимость силы тока от времени $i_A(t)$ при включении эквивалентной нагрузки (черт. 8).

1.2.1.11. По полученной зависимости определяются два значения T :

- $T_1 = 11$ мс - время нарастания силы тока от нуля до $0,632 I_{уст}$;
- $T_2 = 11$ мс - время нарастания силы тока от $0,5 I_{уст}$ до $0,816 I_{уст}$.

1.2.1.12. Сравнение значений $T_1 = 11$ мс и $T_2 = 11$ мс показывает, что $T_1 = T_2$. Это свидетельствует о линейности эквивалентной нагрузки. Следовательно, принимается $T_3 = 11$ мс.

№ 131.

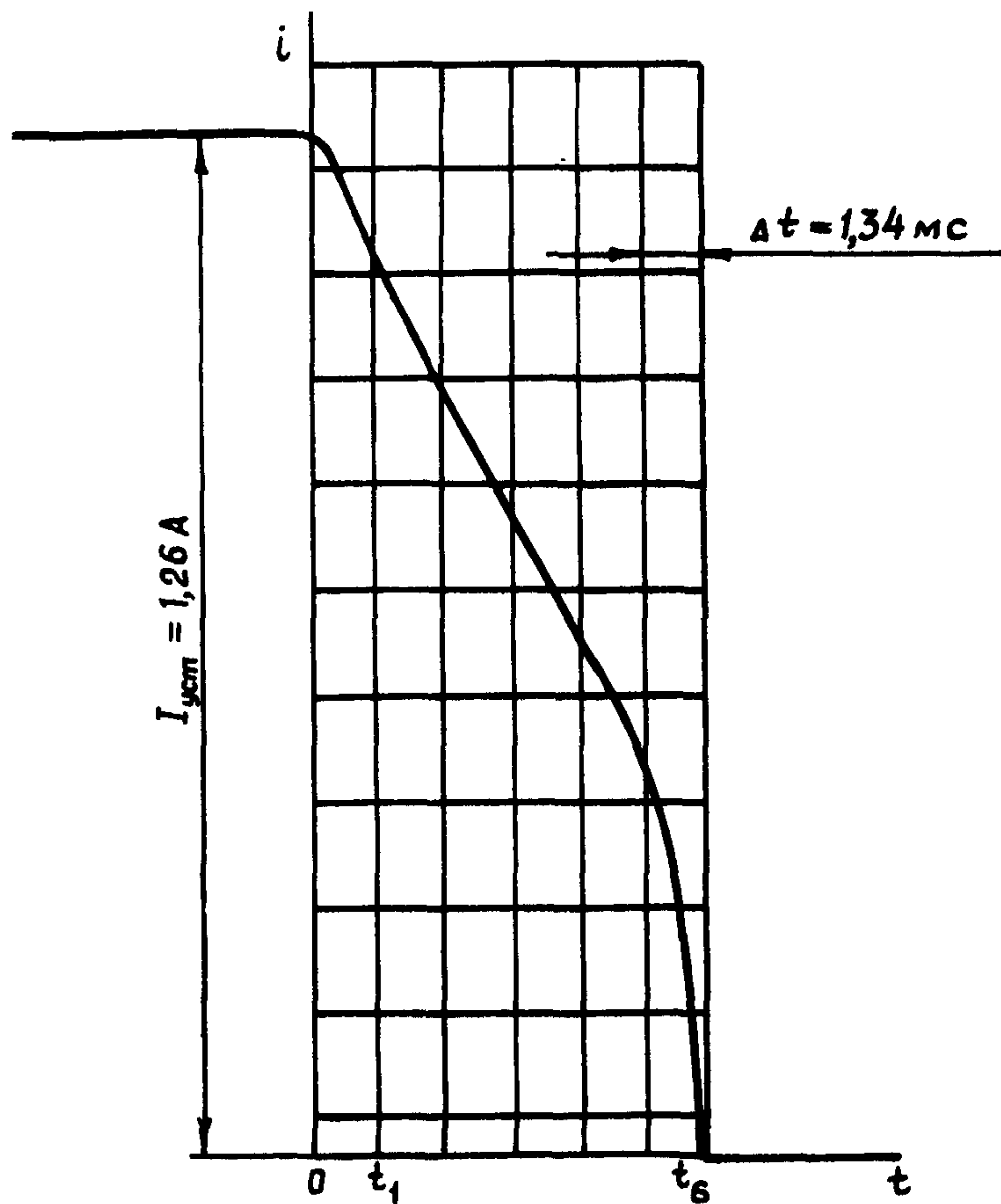
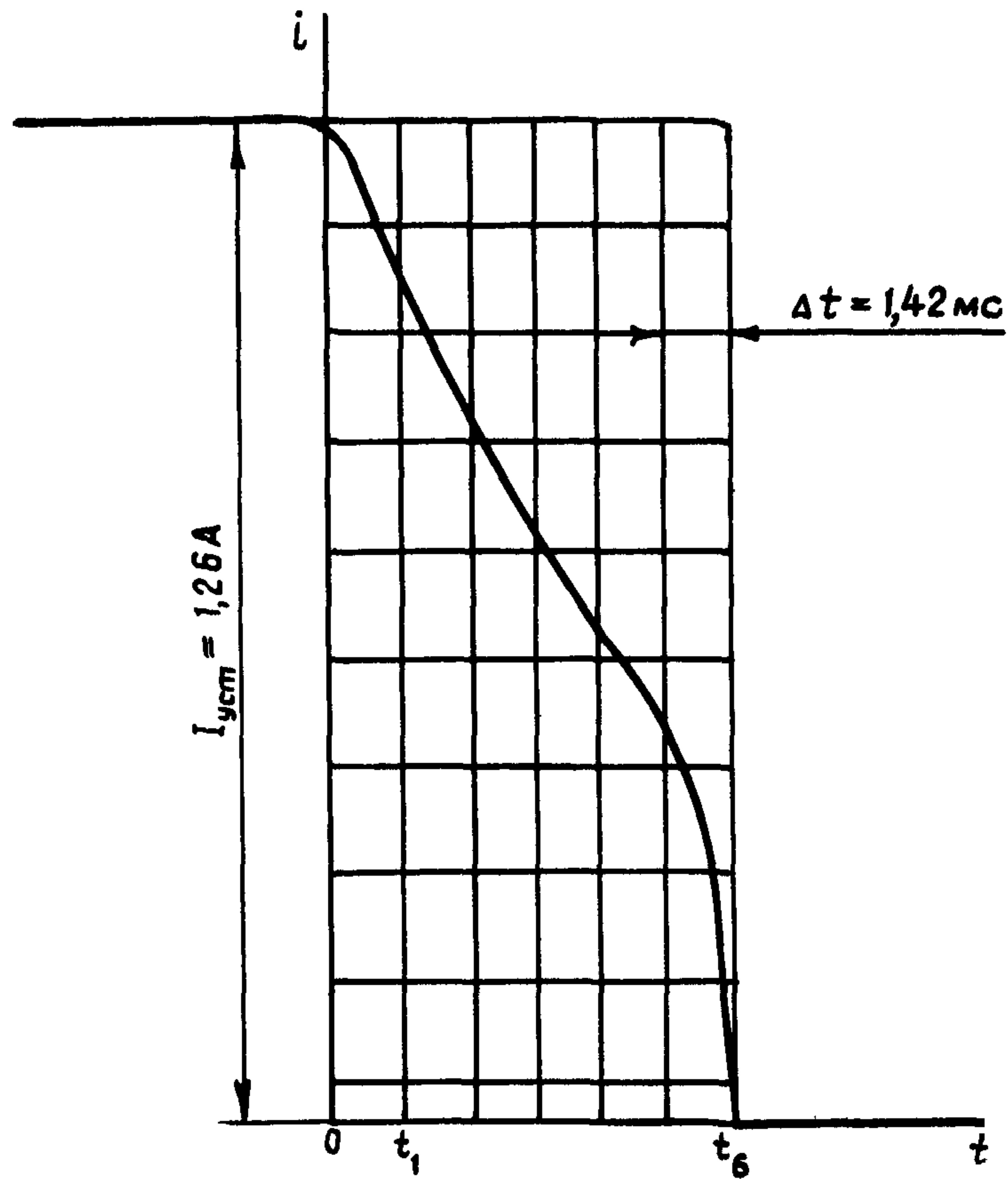
№ 138.

4408

Изм. № дубликата

Изм. № подлинника

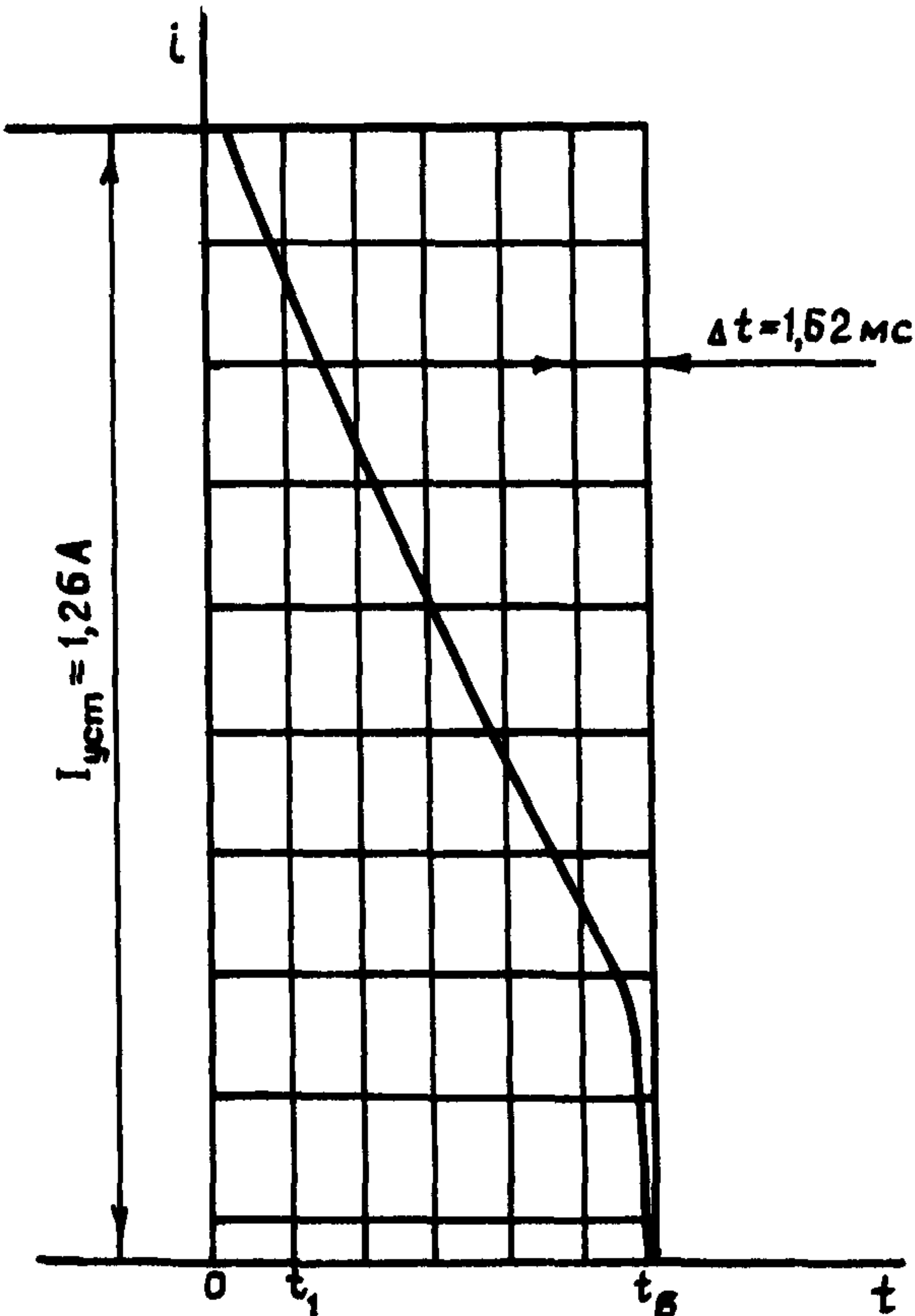
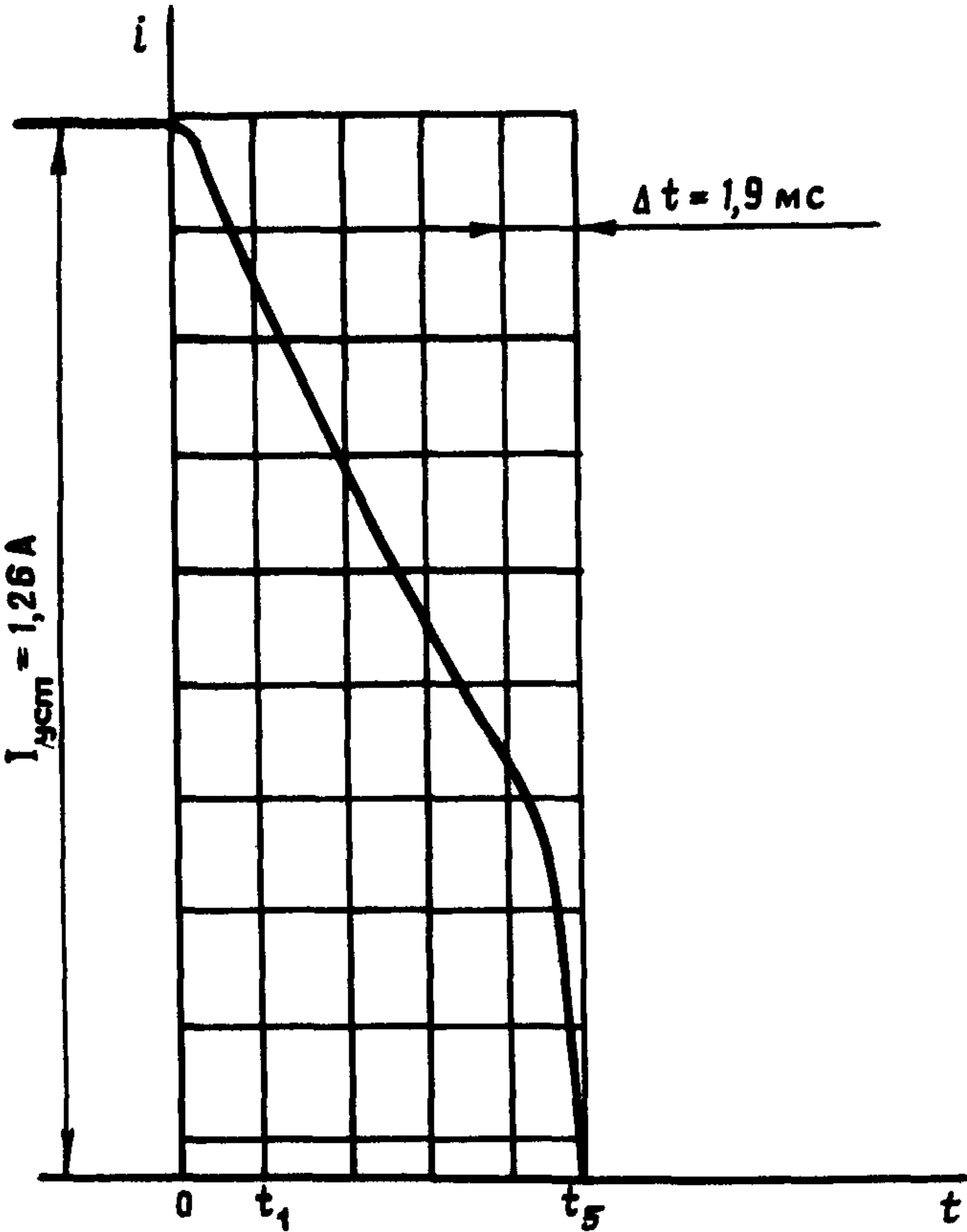
Осциллограммы № 7,8 зависимости силы тока от времени $i(t)$
 при отключении линейной нагрузки контактами реле ТКЕ22ПДТ



Черт. 5

№ дубликата	№ 4408	№ изм.	
№ подлинника		№ изв.	

Осциллограммы № 9, 10 зависимости силы тока от времени $i(t)$ при отключении линейной нагрузки контактами реле ТКЕ22ПДТ



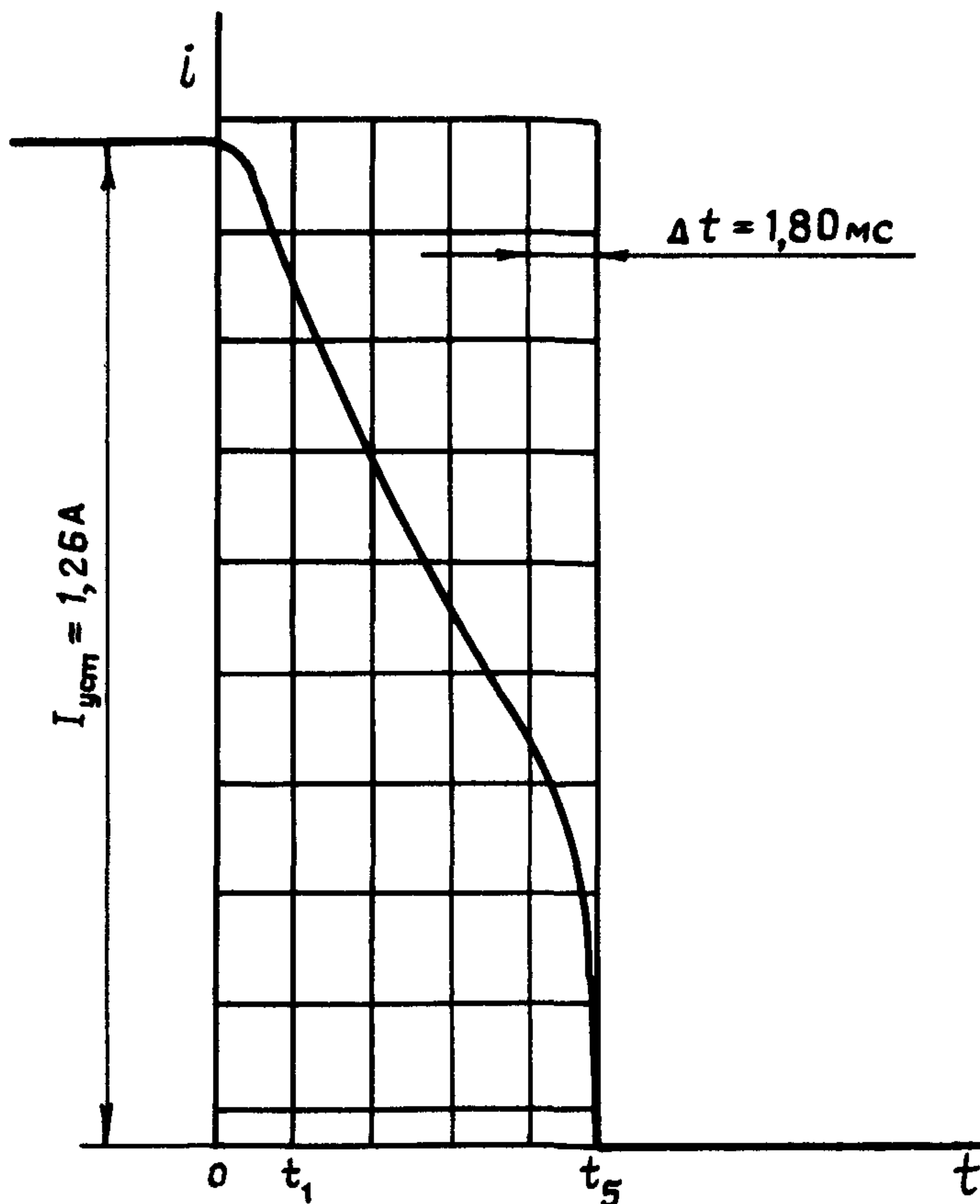
Черт. 6

№ пзп.
№ пзп.

4408

Имя. № дубляжа
Имя. № соединения

Осциллограмма № 11 зависимости силы тока от времени $i(t)$
при отключении линейной нагрузки контактами реле ТКЕ22ПДТ



Черт. 7

1.2.2. Определение эквивалентной постоянной времени T_3 электромагнита по зависимостям $\tau = f(\bar{Q})$, приведенным в приложении 2

1.2.2.1. В п. 1.1 определено, что для электромагнита $I_{уст} = 1,26 \text{ А}$ $\bar{Q} = 6,8 \text{ мКл}$. По черт. 2 приложения 2 определяются два значения τ при $\bar{Q} = 6,8 \text{ мКл}$ для сил токов $I_1 = 1 \text{ А}$ и $I_2 = 1,5 \text{ А}$. Эти значения составляют соответственно $\tau'_1 = 13,9 \text{ мс}$, $\tau'_2 = 8,7 \text{ мс}$.

1.2.2.2. Значение T_3 при $I_{уст} = 1,26 \text{ А}$ определяется из следующей пропорции:

$$\frac{I_2 - I_1}{I_{уст} - I_1} = \frac{\tau'_2 - \tau'_1}{T_3 - \tau'_1}$$

1.2.2.3. После подстановки численных значений определяется T_3 электромагнита:

$$\frac{1,5 - 1}{1,26 - 1} = \frac{8,7 - 13,9}{T_3 - 13,9},$$

откуда $T_3 = 11,2 \text{ мс}$.

№ изм.

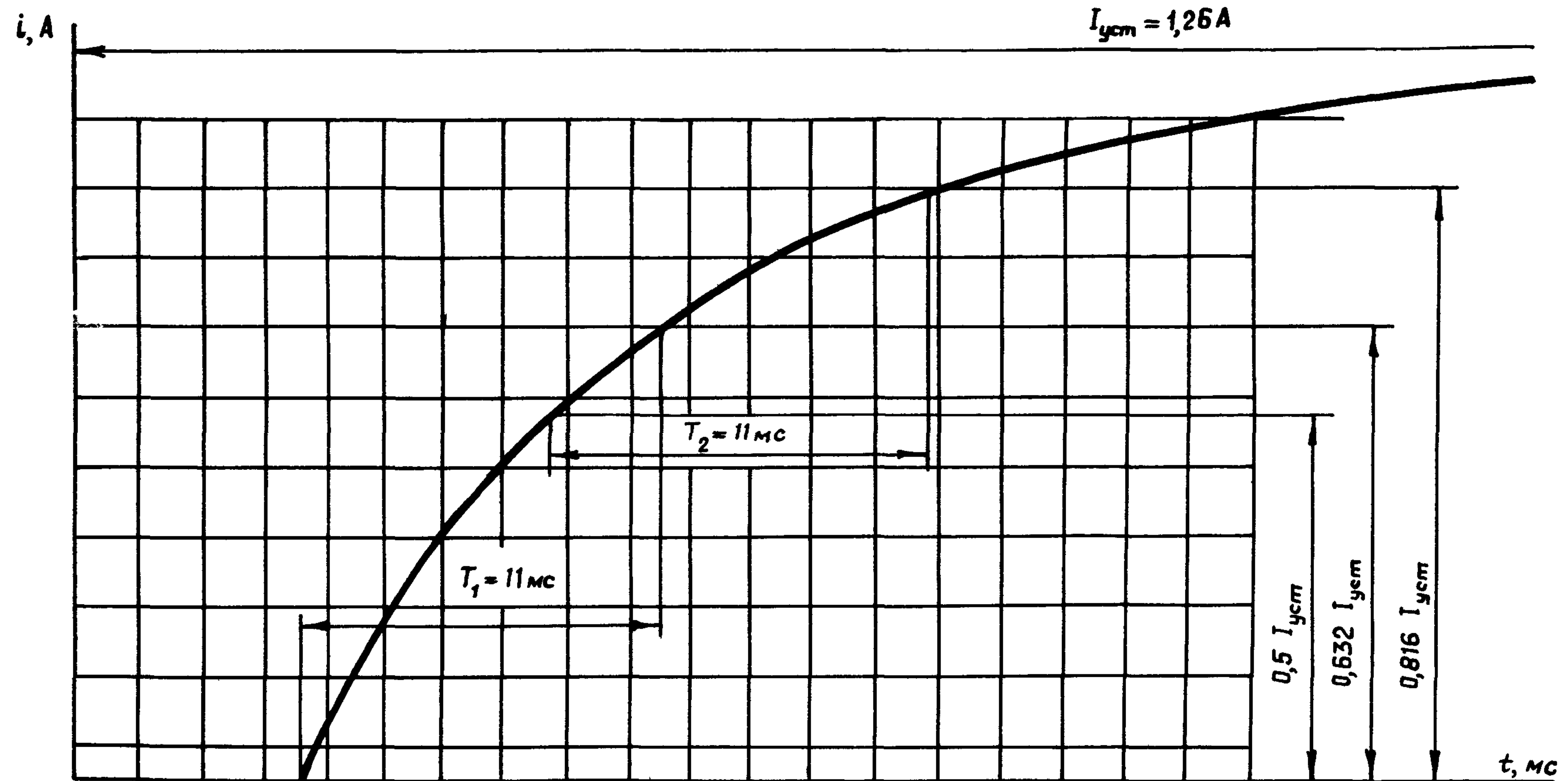
№ изв.

4408

Изм. № дубликата

Изм. № подлинника

Зависимость $i_g(t)$ при включении эквивалентной нагрузки
на постоянное напряжение 27 В



Черт. 8

2. ВЫБОР КОММУТАЦИОННОГО АППАРАТА ДЛЯ КОММУТАЦИИ ЦЕПИ С ЭЛЕКТРОМАГНИТОМ

2.1. Максимально возможное установившееся значение силы тока в цепи электромагнита при напряжении 27 В и температуре окружающей среды минус 60 °С определяется по формуле:

$$(I_{уст})_{max} = (I_{уст})_{+20} (1 + 0,004 \Delta t) = 1,5 (1 + 0,004 \cdot 80) = 1,98 \text{ А.}$$

2.2. Для коммутации электрической цепи с электромагнитом выбирается реле типа ТКЕ22П1Г, для которого $U_{нк} = 27 \text{ В}$, $I_{нк} = 2 \text{ А} \approx (I_{уст})_{max} = 1,98 \text{ А}$, $\tau_{нк} = 15 \text{ мс}$, срок службы - 25000 срабатываний.

2.3. Максимально допустимое значение электромагнитной постоянной времени при силе тока нагрузки $(I_{уст})_{max} = 1,98 \text{ А}$ составляет

$$\tau_{доп} = \tau_{нк} \frac{I_{нк}}{(I_{уст})_{max}} = 15 \frac{2}{1,98} \approx 15 \text{ мс.}$$

2.4. Поскольку $T_э = 11 \text{ мс} < \tau_{доп} = 15 \text{ мс}$, то применение реле ТКЕ22П1Г для коммутации цепи с электромагнитом допустимо.

№ изм.

№ изв.

4408

Исп. № дубликата

Исп. № подлинника

ЛИСТ РЕГИСТРАЦИИ ИЗМЕНЕНИЙ

№ ИЗМ.	Номера страниц				Номер "Изв. об ИЗМ."	Подпись	Дата	Срок введения изменения
	ИЗМЕ- НЕННЫХ	ЗАМЕ- НЕННЫХ	НОВЫХ	АНГУ- ПРО- ВАННЫХ				

Изм. № дубликата	
Изм. № оригинала	4408